

5. Dufrêne Y.F., Ando T., Garcia R., Alsteens D., Martinez-Martin D., Engel A., Gerber C., Müller D.J. Imaging modes of atomic force microscopy for application in molecular and cell biology // Nature Nanotechnology. 2017. Vol. 12. PP. 295-307.
6. Novak P., Li C., Shevchuk A.I., Stepanyan R., Caldwell M., Hughes S. et al. Nanoscale live-cell imaging using hopping probe ion-conductance microscopy // Nat. Methods. 2009. № 6. PP. 279-281.
7. Drake B., Randall C., Bridges D., Hansma P.K. A new ion sensing deep atomic force microscope // Rev. Sci. Instrum. 2014. № 85. P. 083706.
8. Paolo A., Sergiy T., Jan C. et al. Electrochemical nanoprobe for single-cell analysis // ACS Nano. 2014. Vol. 8. № 1. PP. 875-884.
9. Яминский И.В., Ахметова А.И., Мешков Г.Б. Программное обеспечение ФемтоСкан Онлайн и визуализация нанообъектов в микроскопии высокого разрешения // Наноиндустрия. 2018. Т. 11. № 6 (85). С. 414-416.

Ассель Иосифовна Ахметова,

инженер,

Научно-исследовательский институт  
физико-химической биологии  
им. А.Н. Белозерского МГУ,

ведущий специалист,

ООО «Центр перспективных технологий»,

ведущий специалист,

ООО «Энергоэффективные технологии»,

Вадим Михайлович Гукасов,

д-р биолог. наук, гл. научный сотрудник,

Юрий Леонидович Рыбаков,

д-р биолог. наук, директор,

Государственный центр экспертизы

в сфере науки и инноваций,

ФГБНУ НИИ «Республиканский

исследовательский научно-консультативный

центр экспертизы» Министерства науки

и образования России,

Игорь Владимирович Яминский,

д-р физ.-мат. наук, профессор,

физический и химический факультеты,

МГУ им. М.В. Ломоносова,

генеральный директор,

ООО «Центр перспективных технологий»,

директор,

ООО «Энергоэффективные технологии»,

ведущий научный сотрудник,

ФГБУН «Институт элементоорганических

соединений им. А.Н. Несмиянова РАН»,

г. Москва,

e-mail: akhmetova@nanoscopy.ru

Л.В. Осипов, Н.С. Кульберг, С.В. Скосырев, Д.В. Леонов,  
Г.К. Григорьев, А.В. Владзимирский, С.П. Морозов

## Система для транскраниальной ультразвуковой диагностики с коррекцией искажений волнового фронта

### Аннотация

Создана и испытана экспериментальная ультразвуковая диагностическая система, предназначенная для исследования мозга и сосудов через кости черепа. Система позволяет получать изображения высокого качества за счет коррекции аберраций. Для работы системы необходимы два датчика, которые прикладываются соосно с двух сторон головы в областях окон акустической прозрачности.

### Введение

При исследовании мозга через кости черепа неизбежно возникают амплитудные и фазовые искажения, являющиеся результатом неравномерности скорости распространения ультразвуковой (УЗ) волны в тканях. Они приводят к расширению главного лепестка и увеличению уровня боковых лепестков диаграммы направленности, в результате ухудшаются качество фокусировки и соответственно пространственное и контрастное разрешения УЗ-изображения.

Ухудшение качества изображения из-за фазовых искажений может оказаться приемлемым только при достаточно низких значениях несущей частоты (менее 1 МГц) и небольших значениях апертуры. В то же время основными способами улучшения латерального и продольного разрешений УЗ-изображения являются именно повышение частоты УЗ-сигнала и увеличение размера апертуры. На практике же с увеличением УЗ-частоты и размера апертуры система фокусировки становится все более чувствительной к изменениям скорости распространения УЗ-сигнала в тканях с неоднородными акустическими характеристиками.

Искажения волнового фронта состоят в изменении амплитуды, фазы и искажений формы УЗ-сигнала. Большинство известных алгоритмов связаны только с компенсацией фазовых искажений и не касаются искажений формы сигнала [1]-[3]. Посредством этих алгоритмов осуществляется коррекция временных задержек сигналов от различных элементов датчика, обусловленных неоднородностью среды распространения ультразвука, с использованием данных, полученных в результате юстировки. В настоящей статье описывается разработанная система для транскраниальных исследований, способная исправлять искажения амплитуды, фазы и формы УЗ-сигнала.

### Способ исправления аберраций

В основе разработанной диагностической системы лежит способ, предложенный Л.В. Осиповым [4], позволяющий обеспечить компенсацию расфокусирующего влияния черепной кости. Этот способ основан на использовании опорного излучателя, прилегающего к поверхности головы в височной области с противоположной стороны от секторного датчика, при помощи которого проводится УЗ-исследование (рис. 1а-в). Датчики на голове фиксируются при помощи шлема (рис. 1г).

также предусмотрен способ фиксации датчиков для транскраниального обследования лежачих больных (рис. 1д).

Перед получением УЗ-изображения головного мозга сначала осуществляют юстировку на прием, которая включает в себя формирование зондирующих импульсов и подачу их на юстировочный датчик. Излученный сигнал, пройдя через голову пациента, поступает на элементы секторного датчика, в каждом из которых измеряют и запоминают амплитуды, задержки и сдвиги по фазе принятых сигналов. Затем осуществляют контроль юстировки устройства в режиме передачи, который включает в себя формирование зондирующих импульсов и их последующую поочередную подачу на отдельные элементы секторного датчика. Для каждого из элементов устанавливают задержки, фазы и амплитуды, обратные тем, которые были измерены для данного элемента в режиме юстировки на прием. Многоэлементный датчик преобразует зондирующие импульсы в УЗ-сигналы, после чего юстированным пьезоэлектрическим преобразователем осуществляют прием УЗ-сигналов, которые излучаются поочередно каждым элементом многоэлементного датчика и проходят через голову пациента.

Для каждого элемента многоэлементного датчика опять измеряют взаимные сдвиги по задержке и фазе, а также амплитуды сигналов, принятых юстировочным датчиком. Если измеренные значения амплитуд, взаимных фазовых сдвигов и сдвигов по задержке мало отличаются друг от друга, то компенсация aberrаций получилась. Тогда значения параметров фокусировки направляют в формирователь луча, в котором осуществляют компенсацию их различий для необходимых глубин фокусировки и углов сканирования. После этого устройство используют в режиме сканирования, осуществляя излучение УЗ-сигналов, прием и усиление эхо-сигналов, преобразование, обработку, запоминание сигналов, формирование и отображение изображения головного мозга. Если же в процессе контроля юстировки в режиме передачи различия параметров сигналов, принятых юстировочным преобразователем, отличаются между собой более чем на заданные предельные

величины, то на основе этих отличий вводятся дополнительные поправки и процедура юстировки повторяется.

### Управление работой системы

Система управляет согласно схеме, представленной на рис. 2, и включает в себя следующие основные элементы: юстировочный датчик, многоэлементный датчик, коммутатор (мультиплексор), формирователь луча, цифровой приемник, персональный компьютер (ПК).

Юстировочный датчик обеспечивает формирование трансмиссионного УЗ-сигнала в режиме юстировки. При этом сигнал возбуждения датчика поступает от формирователя луча.

Многоэлементный датчик выполняет в режиме юстировки прием трансмиссионного УЗ-сигнала и преобразование его в электрический сигнал. В традиционном режиме сканирования и обзора в режиме синтезированного раскрыва многоэлементный датчик осуществляет преобразование импульсов возбуждения датчика в УЗ-зондирующий сигнал на этапе излучения и соответственно обратное преобразование в процессе приема.

Формирователь луча обеспечивает в традиционном режиме сканирования фокусировку на излучение и прием путем изменения задержки и амплитуды излучаемых и принимаемых сигналов в обзорном режиме, а также формирование импульсов возбуждения юстировочного датчика в трансмиссионном режиме.

Цифровой приемник выполняет первичную обработку эхосигналов, связанную с полосовой фильтрацией, запоминанием сигналов и синхронным детектированием сигналов для традиционного режима сканирования.

ПК осуществляет обработку УЗ-данных, формирование УЗ-изображений в режиме традиционного сканирования и общее управление системой в двух режимах – традиционного сканирования и в режиме синтезированного раскрыва. Также ПК осуществляет специальную постобработку УЗ-данных, полученных в режиме синтезированного раскрыва, вычисление и введение корректирующих поправок по результатам юстировки и формирование УЗ-изображений.

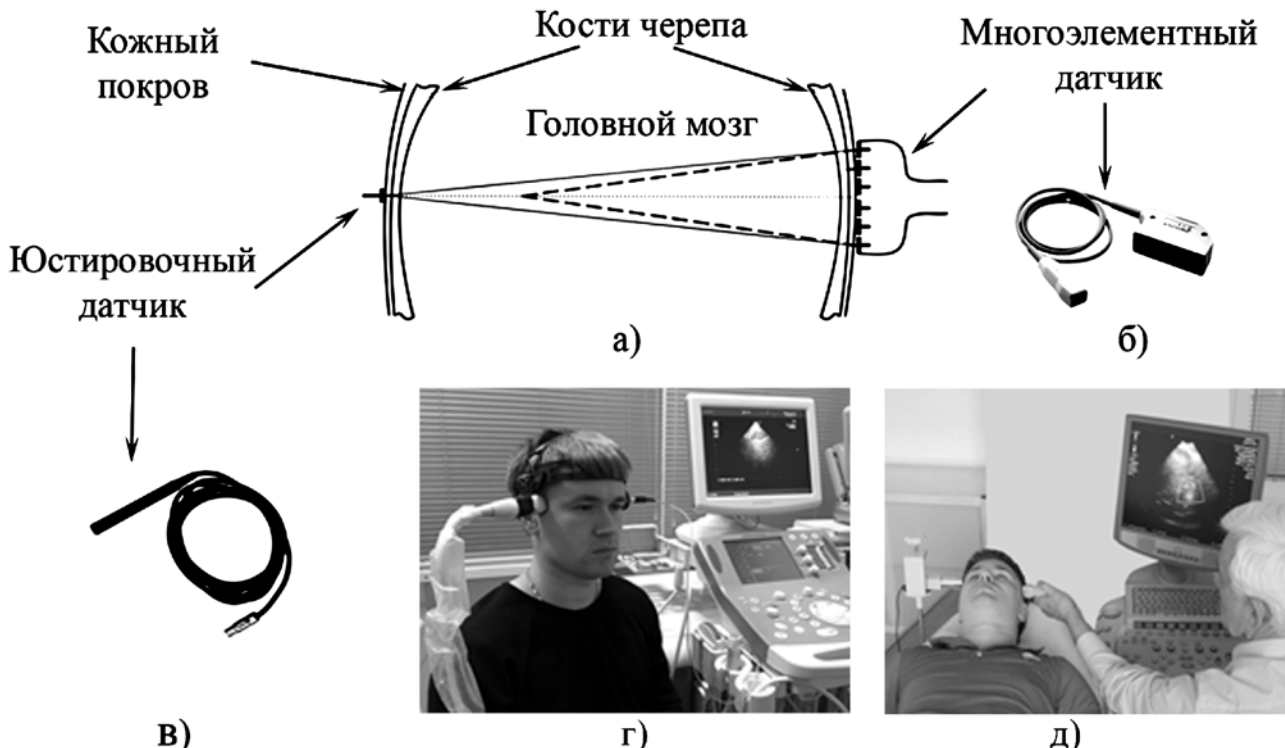


Рис. 1. Расположение датчиков для проведения исследования: а) схема юстировки системы на прием; б) фазированный датчик; в) одноэлементный датчик; г) испытания с использованием специализированного шлема, фиксирующего юстировочный и фазированный датчики на голове пациента; д) способ фиксации датчиков для транскраниального УЗИ лежачих больных

Программное обеспечение системы предназначено для управления режимами работы системы, обеспечения сбора УЗ-данных, формирования УЗ-изображений в различных режимах работы, сохранения результатов обследования в базе данных, распечатки результатов обследования на различных принтерах, передачи результатов обследований на внешние устройства. При этом ПО системы обеспечивает реализацию следующих основных функций: управление режимами зондирования, управление формированием УЗ-луча на излучение и прием, сбор и обработка данных, формирование УЗ-изображений, проведение геометрических измерений и расчет физиологических параметров, сохранение и архивирование результатов обследований, сервисные функции.

## Испытания

Для проверки возможности экспериментальной системы измерять амплитудные и фазовые искажения УЗ-сигналов и компенсировать их в процессе сканирования и формирования УЗ-изображения было проведено физическое моделирование работы системы с использованием коммерческого фантома «ATS Laboratories Model 539» (рис. 3а), имитирующего акустические свойства мягких тканей, в том числе тканей мозга. Скорость звука в фантоме составляет примерно 1480 м/с, затухание волн – порядка 0,7 дБ/см·МГц. В материал фантома включены точечные отражатели для оценки разрешающей способности и имитаторы сосудов, кист и опухолей.

Для имитации искажений, создаваемых височнойостью костей черепа при транскраниальном исследовании, были разрабо-

таны и изготовлены аберраторы, моделирующие неравномерности толщины костной ткани и отличающиеся по скорости звука от мягких тканей примерно на 300 м/с. Аберраторы изготавливались из силикона, который в жидком состоянии заливался в разработанные и изготовленные при помощи 3D-принтеров литьевые формы из АБС-пластика. Кроме указанных литьевых форм, при помощи 3D-принтеров были изготовлены специальные насадки (рис. 3б) на многоэлементный фазированный датчик для фиксации аберраторов при проведении испытаний с тканевэквивалентным фантомом. На рис. 3в показан фазированный датчик с насадкой и аберратором из полупрозрачного силикона.

На рис. 3г представлено УЗ-изображение, полученное с одним из аберраторов, на котором хорошо заметны искажения. По данным, полученным в результате юстировки, построен профиль искажающей структуры (рис. 3д). С использованием данных юстировки вычислены компенсационные поправки, которые были введены при обработке данных для формирования изображения. В результате получено изображение фантома (рис. 3е), которое мало отличается от изображения в отсутствие аберратора.

В следующем эксперименте в качестве аберратора использовался препарат височной кости (рис. 3ж-к). По восстановленному профилю на рис. 3и видно, что фазовый набег вдвое превышает значения, полученные в предыдущем эксперименте (рис. 3д). Интенсивность сигнала в области ярких отражателей на изображении после коррекции увеличилась на 11 дБ, что на 4 дБ больше, чем в эксперименте с аберратором из силикона.

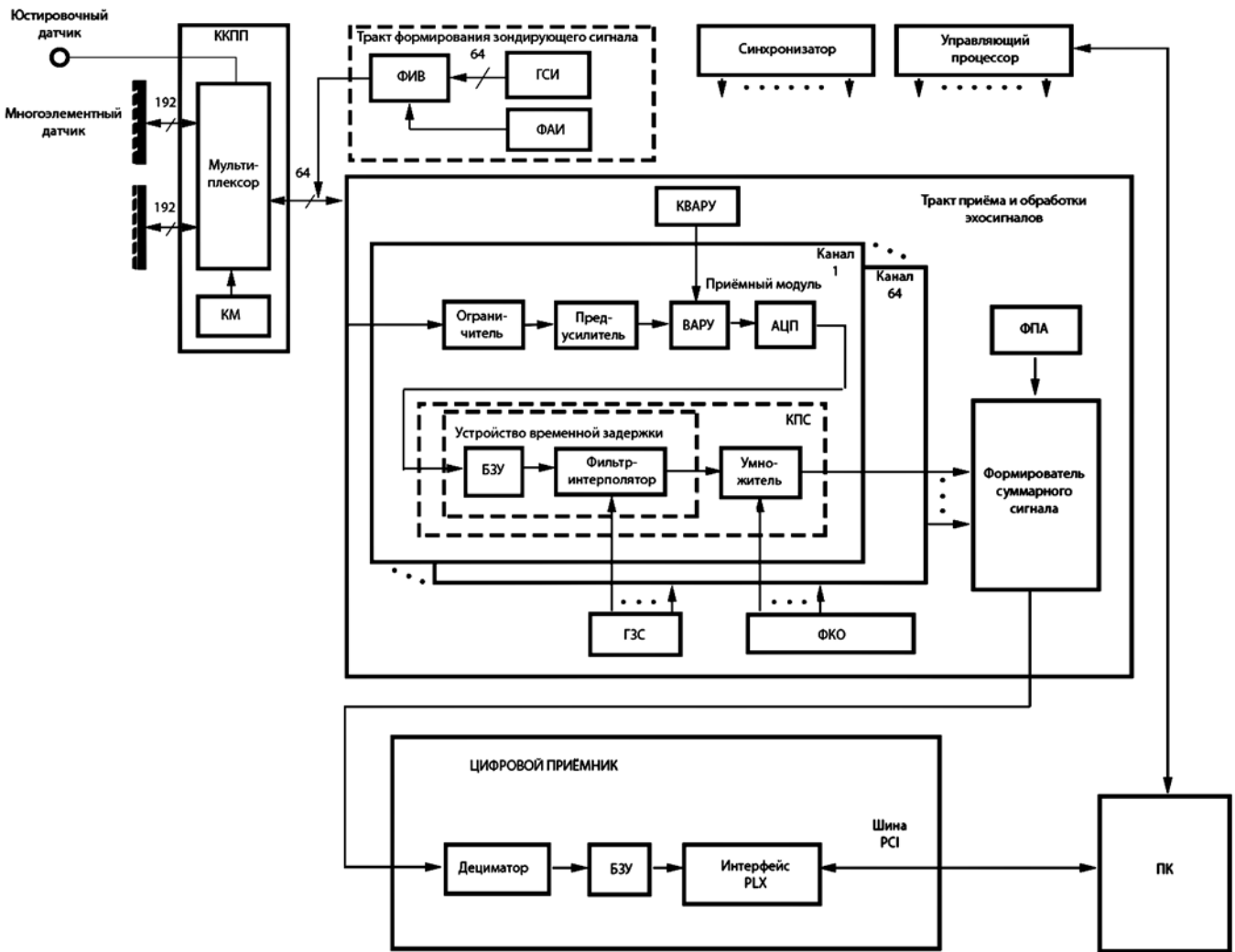


Рис. 2. Блок-схема диагностической системы (пояснения – в тексте)

В процессе проверки совместного функционирования узлов и блоков в составе экспериментальной системы и предварительных испытаний была выявлена необходимость доработки диагностической системы и соответствующей корректировки конструкторской документации и программного обеспечения, в результате чего были проведены следующие работы: 1) доработка юстировочного датчика для получения максимальной ширины основного лепестка диаграммы излучения; 2) оптимизация параметров сигнала возбуждения юстировочного датчика и параметров полосового фильтра приемного тракта для обеспечения максимальной точности измерения фазовых характеристик в режиме юстировки; 3) введение режима оценки диаграммы излучения юстировочного датчика при помощи фазированного датчика; 4) разработка и изготовление специального шлема для установки и фиксации датчиков в нужном положении; 5) доработка программного обеспечения с целью точного учета расчетной формы неискаженного фазового фронта сигналов юстировочного датчика в области апертуры фазированного датчика и искажений амплитуд сигналов, обусловленных влиянием кости черепа.

Поскольку приемопередающий тракт УЗ-сигналов был реализован на основе гибко перепрограммируемых ПЛИС, большая часть изменений производилась на программном уровне.

Конструктивные доработки затронули только юстировочный датчик и шлем для фиксации датчиков на голове пациента.

Проводились эксперименты с подключением различных датчиков и накладыванием на их рабочие поверхности акустических масок с целью достижения максимальной ширины основного лепестка. В результате установлено, что для обеспечения требуемой ширины диаграммы направленности и обеспечения нужной точности измерения фазовых разбросов на элементах фазированного датчика диаметр рабочей поверхности юстировочного датчика с рабочей частотой 3...4 МГц должен быть не более 2 мм.

Для увеличения отношения сигнал/шум и повышения точности измерения фазовых характеристик реализована возможность увеличения длительности импульсов излучения юстировочного датчика до 9 периодов частоты сигнала излучения. Поскольку увеличение длительности импульсов излучения приводит к пропорциональному сужению спектра излучаемого сигнала, для обеспечения максимального отношения сигнал/шум соответствующим образом должна изменяться и полоса фильтра частот в приемном тракте фазированного датчика в режиме юстировки. В приемном тракте системы была реализована возможность установки необходимой полосы частот фильтра.

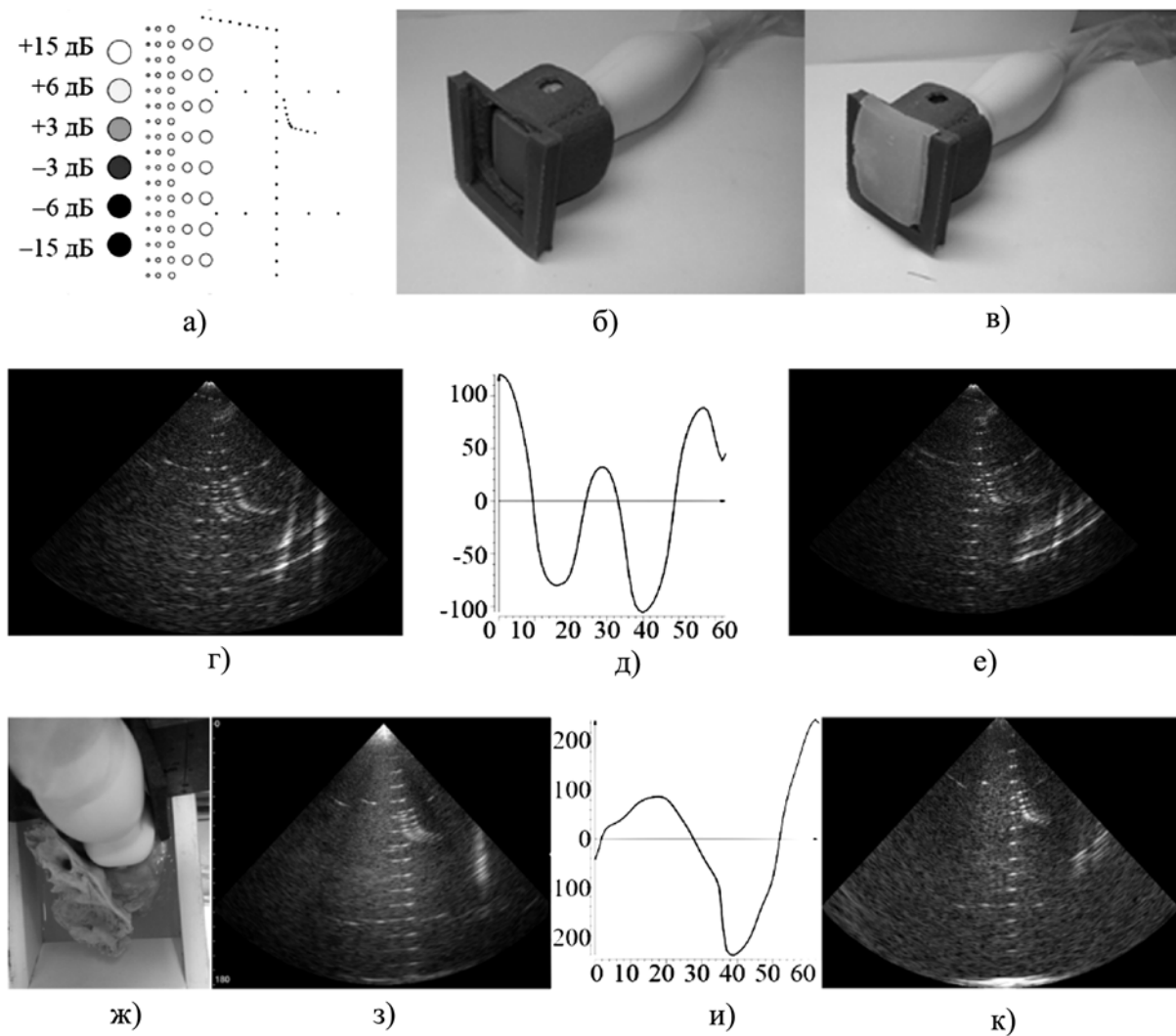


Рис. 3. Иллюстрации к экспериментам: а) схема фантома; б) фазированный датчик с креплением для аберратора; в) фиксация аберратора на апертуре датчика; г) сонограмма фантома, полученная с одним из аберраторов; д) профиль искажающей структуры аберратора (по оси ординат – фазовый набег в градусах, по оси абсцисс показаны номера элементов фазированного датчика); е) сонограмма после коррекции; ж) использование в качестве аберратора препарата височной кости; з) сонограмма фантома, полученная через кость; и) профиль аберраций через кость; к) сонограмма фантома после коррекции искажений

Поскольку из-за затухания УЗ-в тканях с увеличением глубины приема происходит смещение спектра эхо-сигнала в область низких частот, для компенсации смещения спектра сигнала по глубине зондирования изменяют значение центральной частоты приемного тракта в процессе приема эхо-сигналов с разной глубины. Однако в юстировочном режиме изменение центральной частоты приема сигнала приводит к ошибкам измерения фазы. По этой причине в режиме юстировки введен режим излучения и приема сигнала только на фиксированной центральной частоте.

## Заключение

В ходе выполнения проекта была создана и испытана экспериментальная система, на основе которой предполагается разработать ультразвуковой диагностический прибор, позволяющий исследовать мозг и сосуды мозга и при этом получать изображения высокого качества за счет исправления фазовых и амплитудных искажений. К разработке системы привлеклись ведущие медицинские и технические специалисты. Получены положительные заключения о результатах работы по созданию новой технологии транскраниального ультразвукового исследования мозга от НИИ нейрохирургии им. Н.Н. Бурденко и ФГБУ «Научный центр неврологии» РАМН. Основные технические решения защищены патентами [4], [5]. Сейчас система ограничена работой в серошкальном режиме, в дальнейшем планируем использовать наш опыт обработки доплеровских сигналов [6]-[9] для развития в приборе режимов исследования кровотока.

## Список литературы:

1. Miller-Jones S.M. Automated arrival time correction for ultrasound cephalic imaging / Ph.D. dissertation. Dept. of Biomedical Engineering. Duke University. Durham. NC. 1980.
2. Lindsey B.D., Smith S.W. Pitch-catch phase aberration correction of multiple isoplanar patches for 3-D transcranial ultrasound imaging // IEEE Transactions on Ultrasonics, Ferroelectrics, and Frequency Control. 2013. Vol. 60. PP. 463-480.
3. Kyriakou A., Neufeld E., Werner B., Paulides M.M., Szekely G., Kuster N. A review of numerical and experimental compensation techniques for skull-induced phase aberrations in transcranial focused ultrasound // International Journal of Hyperthermia. 2014. Vol. 30. PP. 36-46.
4. Осипов Л.В. Способ компенсации искажений изображений головного мозга и кровотока в его сосудах при транскраниальных ультразвуковых исследованиях / Патент на изобретение RU 2661046, 2018; заявл. 26.06.2017; опубл. 11.07.2018.
5. Осипов Л.В. Устройство получения изображений головного мозга и кровотока в его сосудах при транскраниальных ультразвуковых исследованиях / Патент на полезную модель RU 181380; заявл. 14.02.2018; опубл. 11.07.2018.
6. Leonov D.V., Kulberg N.S., Gromov A.I., Morozov S.P., Kim S.Yu. Causes of Ultrasound Doppler Twinkling Artifact // Acoustical Physics. 2018. Vol. 64. PP. 105-111.

7. Leonov D.V., Kulberg N.S., Gromov A.I., Morozov S.P., Vladzimirskiy A.V. Method for Detection Dense Objects with Doppler Ultrasound // Acoustical Physics. 2018. Vol. 64. PP. 106-118.
8. Leonov D.V., Kulberg N.S., Podmoskovnaya V.A., Ivanova L.S., Shipaeva A.S., Vladzimirskiy A.V., Morozov S.P. Comparison of Filtering Techniques in Ultrasound Color Flow Imaging // Biomedical Engineering. 2019. Vol. 53. PP. 97-101.
9. Leonov D.V., Kulberg N.S., Podmoskovnaya V.A., Ivanova L.S., Shipaeva A.S., Vladzimirskiy A.V., Morozov S.P. Clutter Filtering for Diagnostic Ultrasound Color Flow Imaging // Biomedical Engineering. 2019. Vol. 53. PP. 217-221.

Лев Васильевич Осипов,  
д-р техн. наук, ведущий научный сотрудник,  
ГБУЗ «Научно-практический клинический  
центр диагностики и телемедицинских  
технологий ДЗМ»,  
ООО «ПКФ «ИЗОМЕД»,  
Николай Сергеевич Кульберг,  
канд. физ.-мат. наук, руководитель отдела,  
ГБУЗ «Научно-практический клинический  
центр диагностики и телемедицинских  
технологий ДЗМ»,  
Сергей Вадимович Скосырев,  
ведущий инженер,  
ПАО «Институт электронных  
управляющих машин им. И.С. Брука»,  
ООО «Спектромед»,  
Денис Владимирович Леонов,  
канд. техн. наук, докторант,  
научный сотрудник,  
ГБУЗ «Научно-практический клинический  
центр диагностики и телемедицинских  
технологий ДЗМ»,  
ФГБОУ ВО «Национальный  
исследовательский университет «МЭИ»,  
Георгий Константинович Григорьев,  
канд. мед. наук, врач,  
Московский государственный медико-  
стоматологический университет  
им. А.И. Евдокимова,  
Антон Вячеславович Владзимирский,  
д-р мед. наук, зам. директора,  
Сергей Павлович Морозов,  
д-р мед. наук, директор,  
ГБУЗ «Научно-практический клинический  
центр диагностики и телемедицинских  
технологий ДЗМ»,  
г. Москва,  
e-mail: strat89@mail.ru

\* \* \* \*